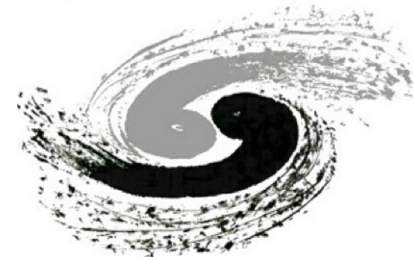
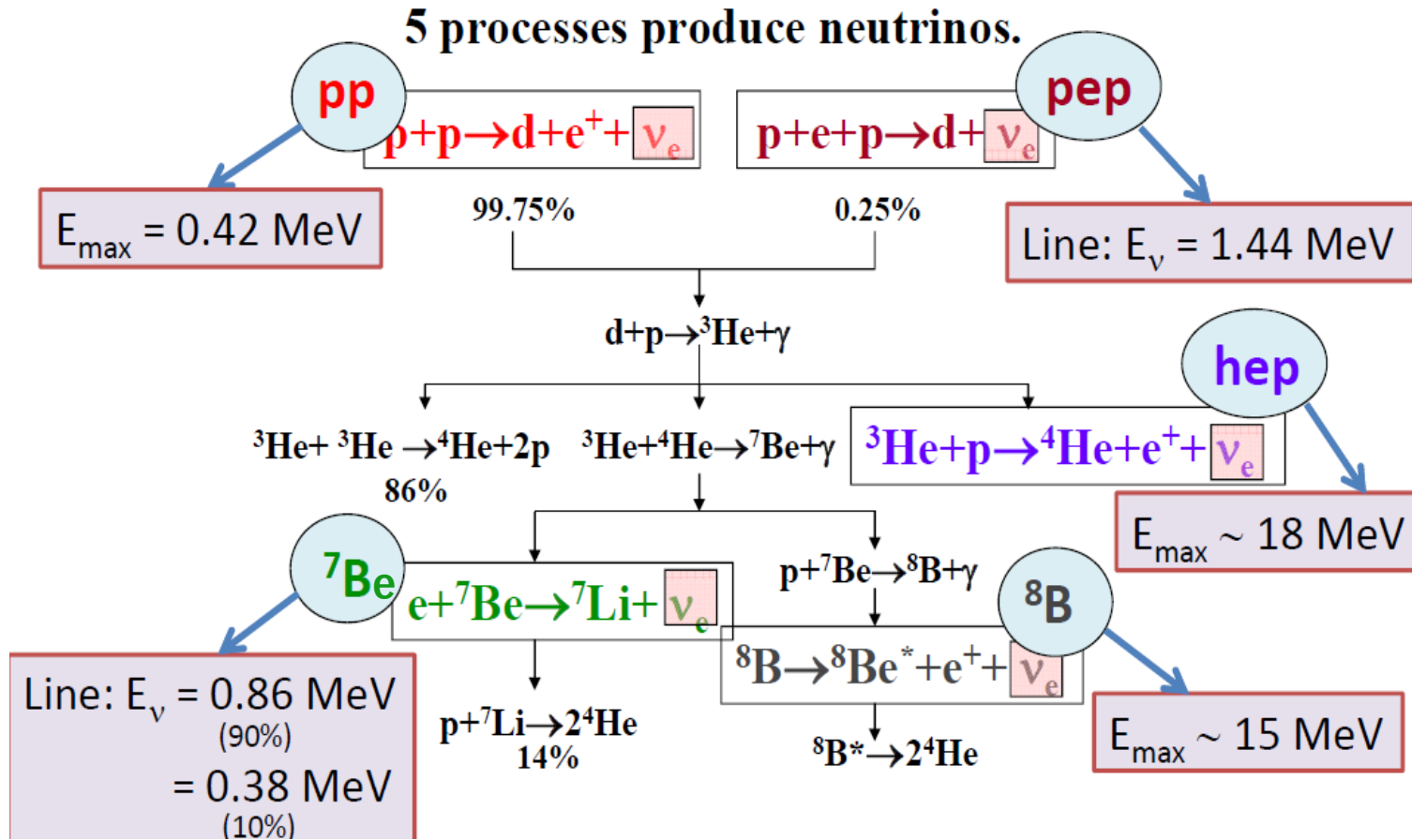


# JUNO探测太阳中微子的潜力

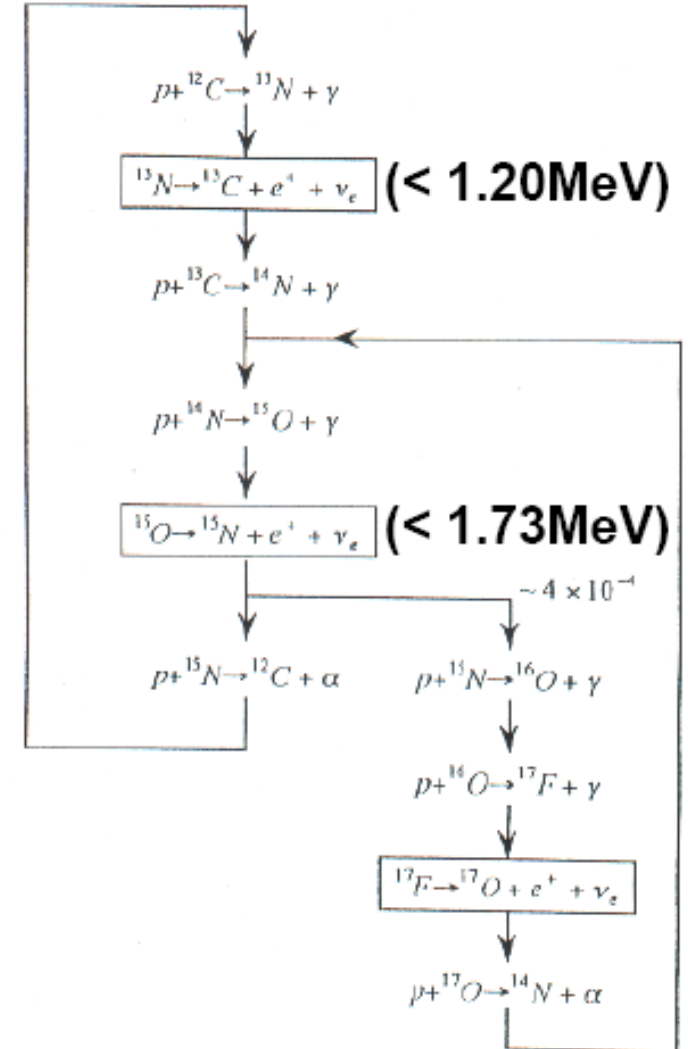
崔晨阳（代表JUNO合作组）



# pp-chain

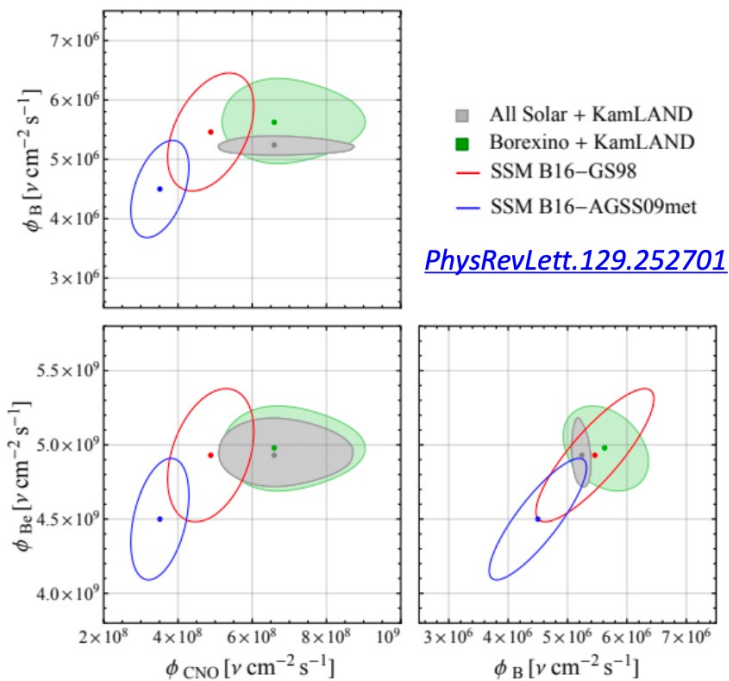
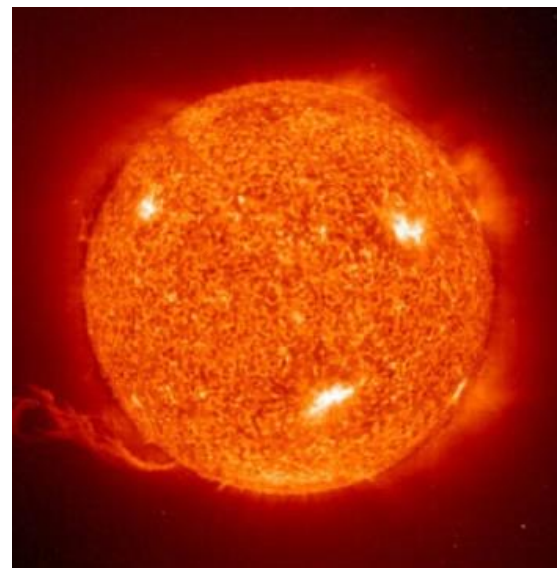


# CNO-chain



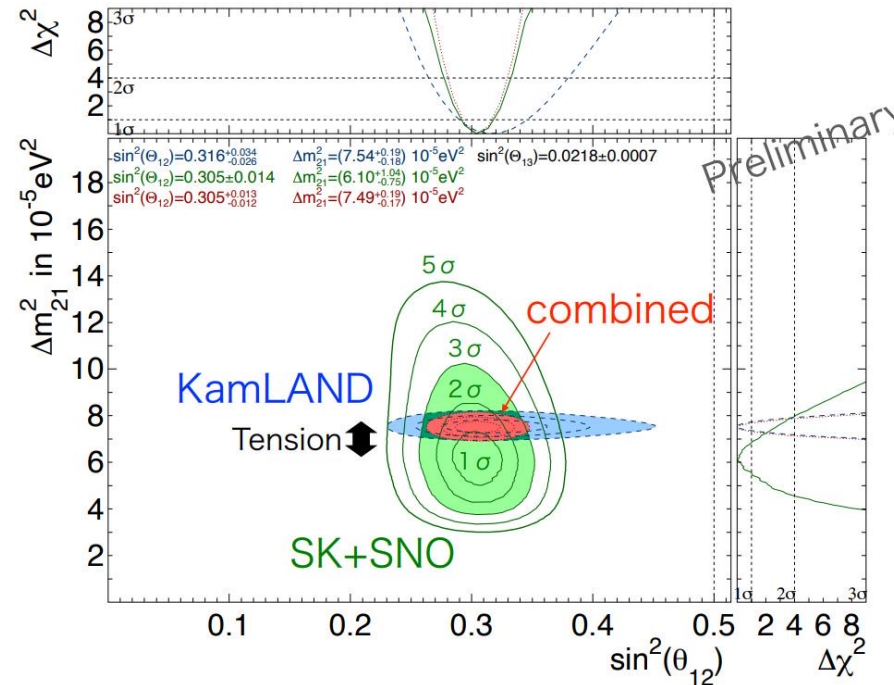
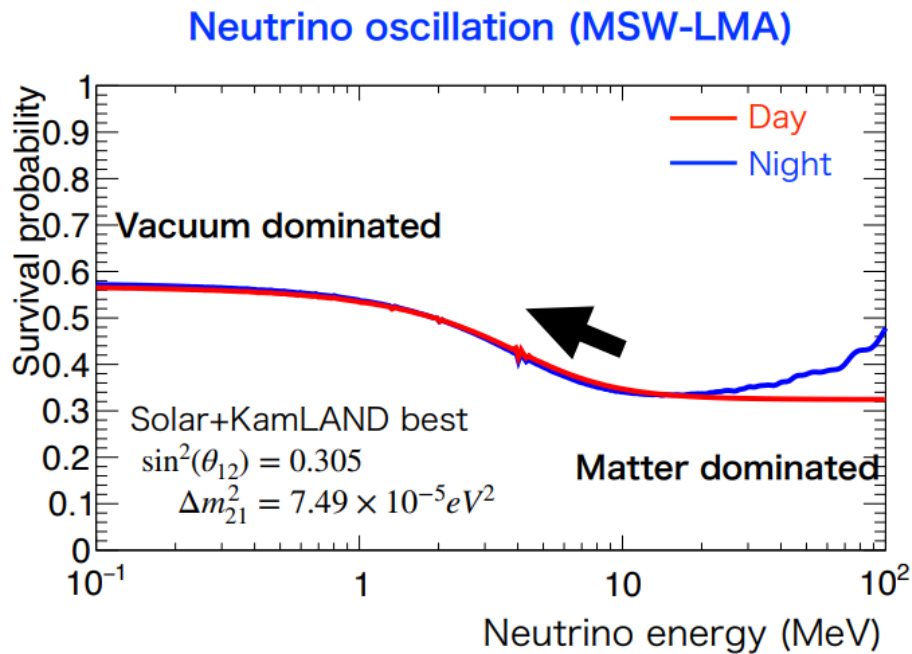
# 太阳金属丰度问题

	FLUX	Dependence on T	SSM-/HZ <sup>(1)</sup> SSM B16-GS98	SSM-/LZ <sup>(2)</sup> SSM B16-AGSS09met	DIFF. (HZ-LZ)/HZ
pp chain	pp ( $10^{10} \text{ cm}^{-2} \text{ s}^{-1}$ )	$T^{-0.9}$	5.98(1±0.006)	6.03(1±0.005)	-0.8%
	pep ( $10^8 \text{ cm}^{-2} \text{ s}^{-1}$ )	$T^{-1.4}$	1.44(1±0.01)	1.46(1±0.009)	-1.4%
	${}^7\text{Be}$ ( $10^9 \text{ cm}^{-2} \text{ s}^{-1}$ )	$T^{11}$	4.94(1±0.06)	4.50(1±0.06)	8.9%
	${}^8\text{B}$ ( $10^6 \text{ cm}^{-2} \text{ s}^{-1}$ )	$T^{24}$	5.46(1±0.12)	4.50(1±0.12)	17.6%
CNO cycle	${}^{13}\text{N}$ ( $10^8 \text{ cm}^{-2} \text{ s}^{-1}$ )	$T^{18}$	2.78(1±0.15)	2.04(1±0.14)	26.6%
	${}^{15}\text{O}$ ( $10^8 \text{ cm}^{-2} \text{ s}^{-1}$ )	$T^{20}$	2.05(1±0.17)	1.44(1±0.16)	29.7%



- Borexino在 $3.1\sigma$  C.L 上偏好高金属丰度的GS98模型
- 与B16-AGSS09有 $\sim 2\sigma$ 的偏差

# 振荡物理



JUNO collaboration, Chin. Phys. C 46, 123001 (2022)

	Central Value	PDG2020	100 days	6 years	20 years
$\Delta m_{31}^2$ ( $\times 10^{-3}$ eV <sup>2</sup> )	2.5283	$\pm 0.034$ (1.3%)	$\pm 0.021$ (0.8%)	$\pm 0.0047$ (0.2%)	$\pm 0.0029$ (0.1%)
$\Delta m_{21}^2$ ( $\times 10^{-5}$ eV <sup>2</sup> )	7.53	$\pm 0.18$ (2.4%)	$\pm 0.074$ (1.0%)	$\pm 0.024$ (0.3%)	$\pm 0.017$ (0.2%)
$\sin^2 \theta_{12}$	0.307	$\pm 0.013$ (4.2%)	$\pm 0.0058$ (1.9%)	$\pm 0.0016$ (0.5%)	$\pm 0.0010$ (0.3%)
$\sin^2 \theta_{13}$	0.0218	$\pm 0.0007$ (3.2%)	$\pm 0.010$ (47.9%)	$\pm 0.0026$ (12.1%)	$\pm 0.0016$ (7.3%)

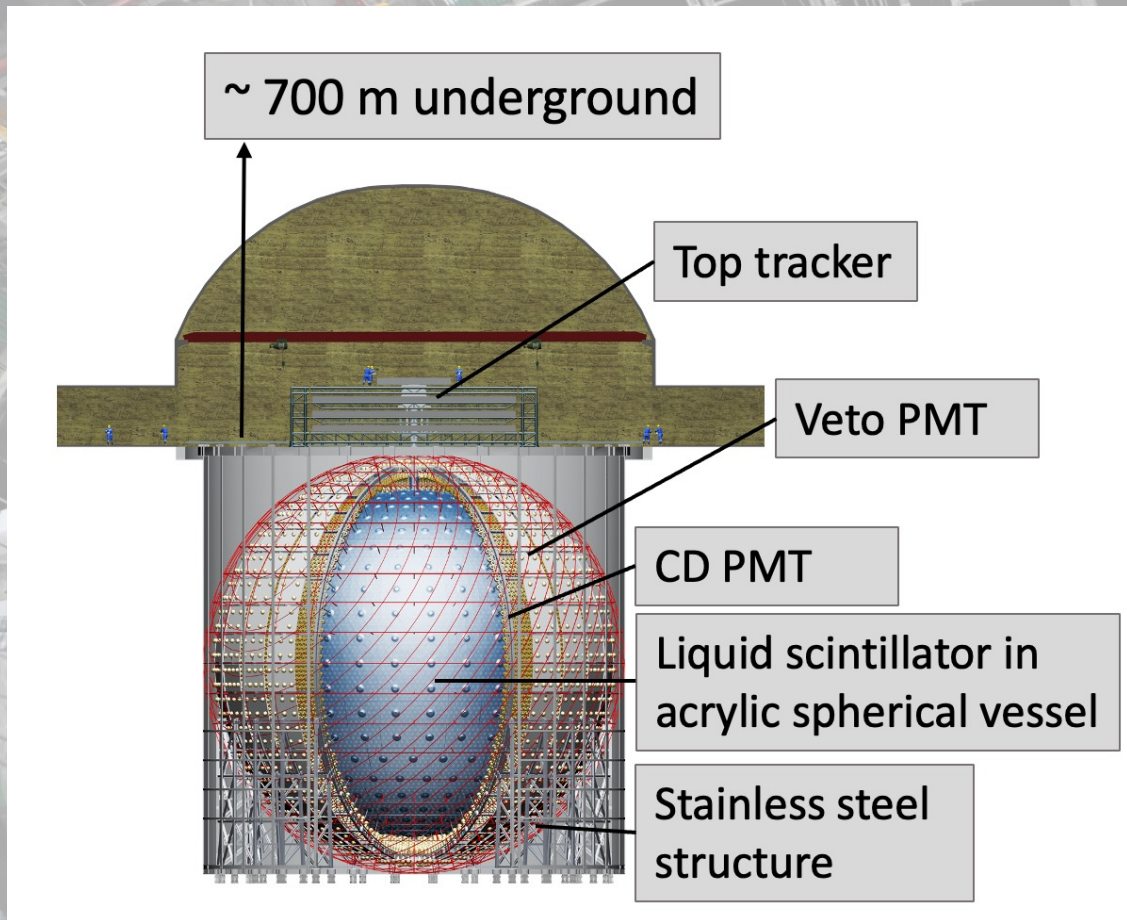
- Upturn: 高能段的物质振荡与低能区真空振荡的过渡区域
- 振荡参数的测量：太阳和反应堆的Tension  $\sim 1.5\sigma$
- 日夜效应：中微子的振荡概率会被地球调制10%左右(flux)

JUNO可用同一探测器，不同中微子源（太阳，反应堆）独立测量 $\Delta m_{21}^2$ 以检验此偏差  
 ✓ 其中，反应堆中微子可测量 $<1\%$



江門中微子實驗  
Jiangmen Underground Neutrino Observatory

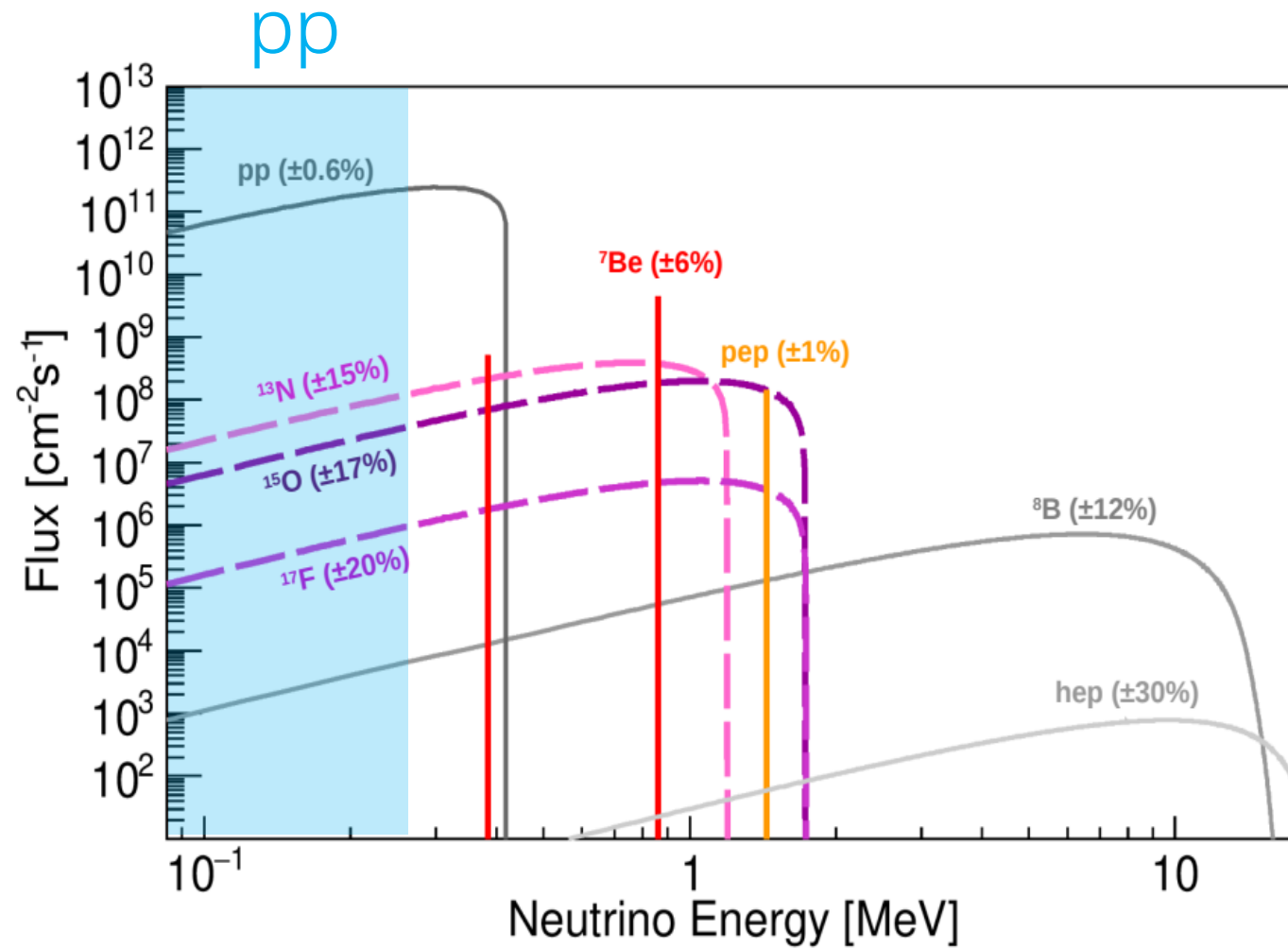
8



20 kt 液体闪烁体 → Borexino的70倍  
 $3\%/\sqrt{E}$  能量分辨 → 好于Borexino (5%)

能量阈值 → 好于水切伦科夫探测器SuperK  
 天然放射性本底 → 达到Borexino初期水平

适合开展太阳中微子所有产生链的流强探测



pp分析能区  $[0.15, 0.25]$  MeV

# pp- $\nu$ $\rightarrow$ 太阳亮度, $\theta_{12}$

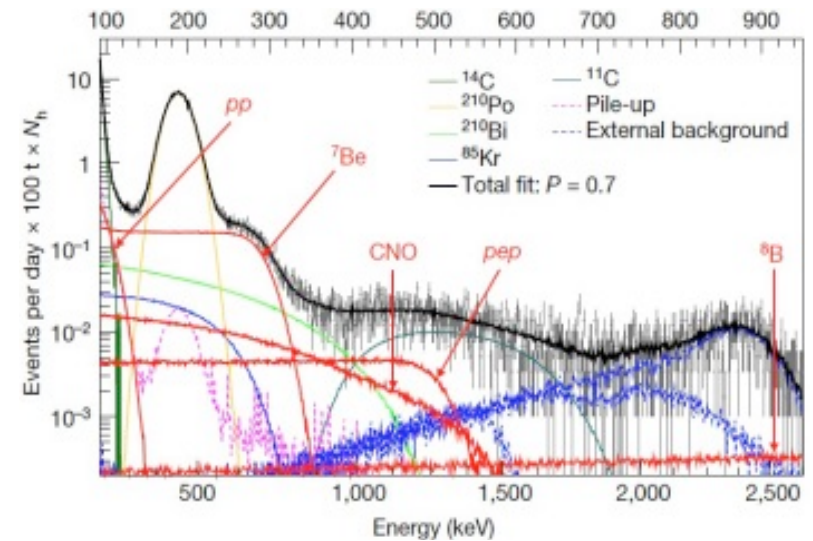
## ■ 太阳99%的能量来源于pp链

- 太阳SSM预言不确定度:  $\sim 0.6\%$
- 测量不确定度:  $\sim 10\%$  (Borexino)
- 高流强, 真空主导振荡

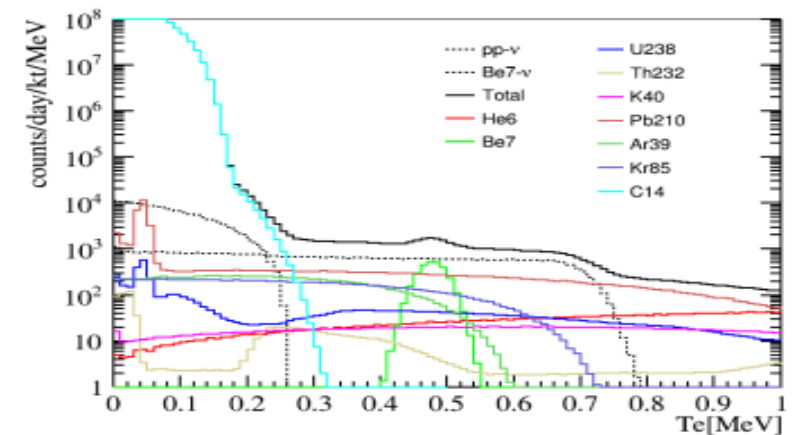
## ■ pp中微子探测挑战

- 低阈值和触发 (暗噪声)
- 本底分析
  - $^{14}\text{C}$  pile-up
- sub-MeV的能量刻度
- 系统不确定度
  - Trigger, PID and 探测器响应

Borexino [Nature 562, 505–510 \(2018\)](#)



JUNO at  $^{14}\text{C}$   $10^{-18}\text{g/g}$

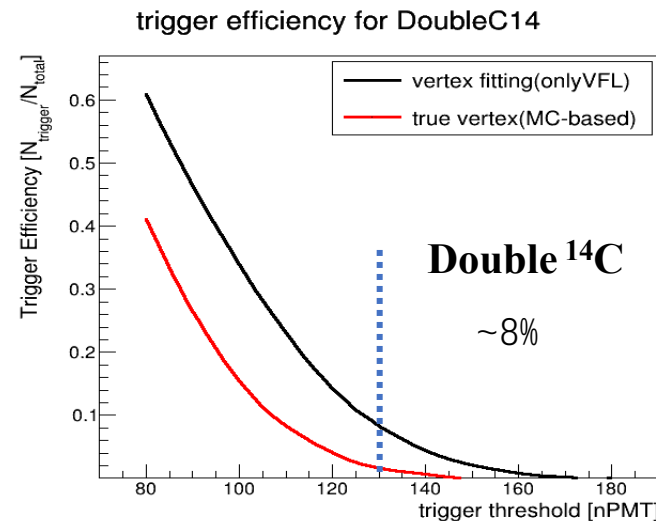
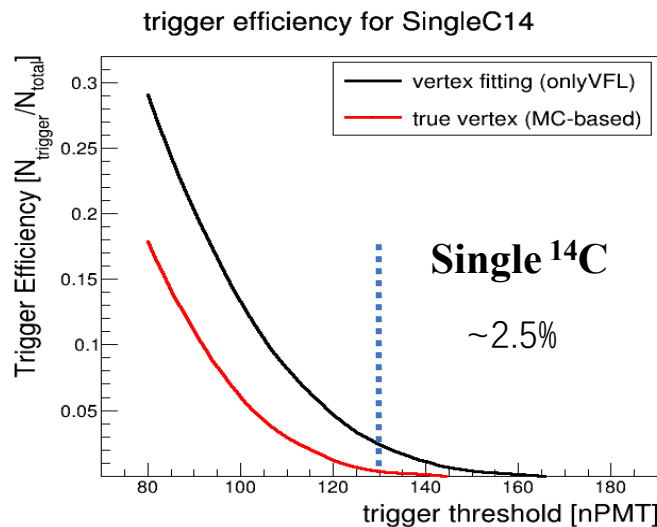
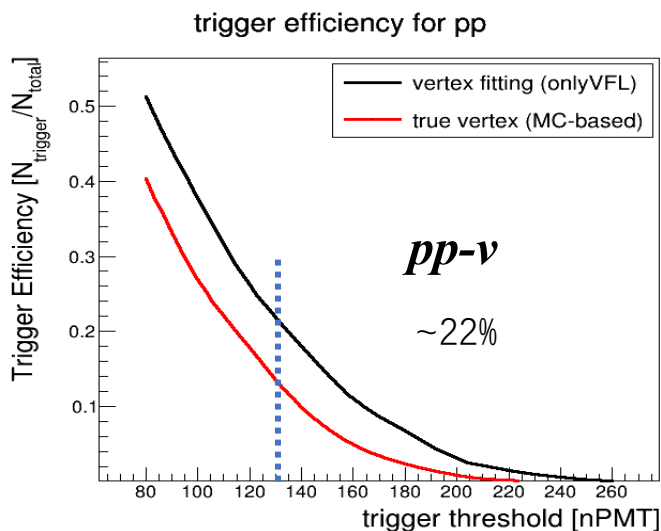




# 观测 pp-ν 的技术难点

ES: 1240 cpd/kt  $\xrightarrow{\text{Trigger}}$  10 cpd/kt (0.08-0.25MeV)  
 Bkg cut

■ 低阈值、低触发  $\rightarrow$  需要优化触发算法 (目前: onlyVFL, 130 nPMTs触发阈值)



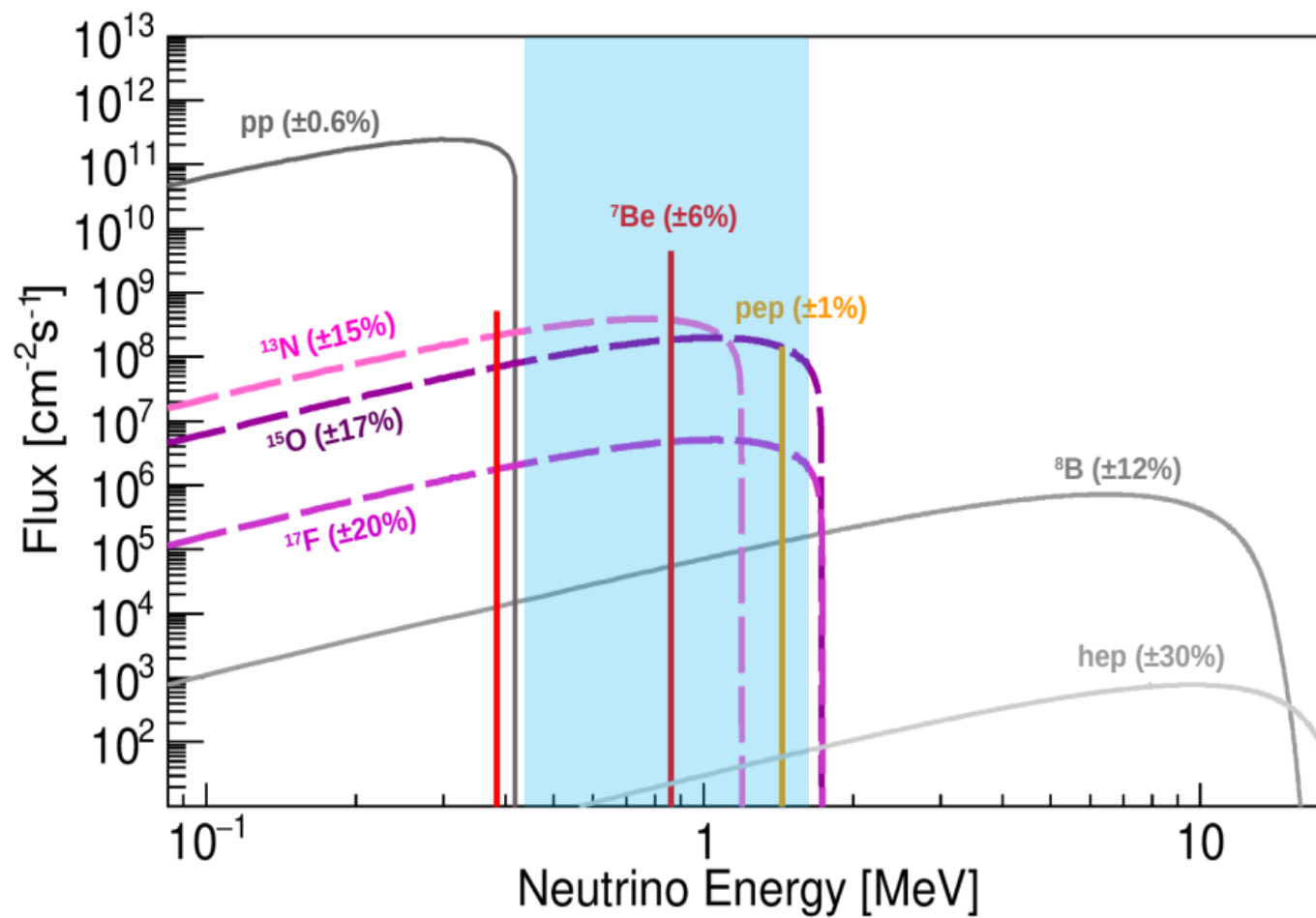
$^{14}\text{C}$ :  
 10<sup>-17</sup> g/g

■ 本底控制  $\rightarrow$  开发算法鉴别 $^{14}\text{C}$  pile-up

- pp-ν: single cluster
  - $\nu_e + e^- \rightarrow \nu_e + e^-$
- $^{14}\text{C}$  pileup event: more than one cluster
  - $^{14}\text{C} \rightarrow ^{14}\text{N} + \nu_e + e^-$
  - Multiple  $^{14}\text{C}$  events in the same time window

Preliminary

		Sig efficiency	Bkg efficiency	S/B (10 <sup>-17</sup> [g/g])
	raw	--	--	1/1727
	After trigger	22%	8%	1/626.5
After PID	TMVA (BDTG)	1.1% (22%×5%)	0.008% (8%×0.1%)	1/12.56
	VGG16-1D	3.3% (22%×15%)	0.008% (8%×0.1%)	1/4.2
	VGG16-2D	4% (22%×18%)	0.008% (8%×0.1%)	1/3.5



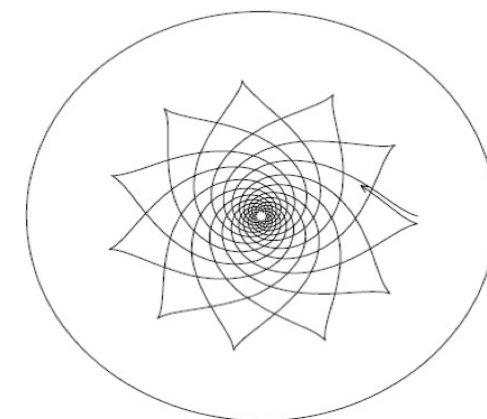
${}^7\text{Be}$ , pep, CNO分析能区  $[0.45, 1.6]$  MeV

# 研究意义:

## ■ Be7-ν → g-mode

- 可以通过太阳中微子流量探测 g- 模式振动 (小时量级周期)
- 意义: 太阳内核, 调制CNO 中微子flux

g 模式振动的传播



## ■ CNO → 太阳金属丰度问题

	GS98	SSM09Ne	TWA	the Sun
pp/10 <sup>10</sup>	5.96 (0.5%)	5.99 (0.5%)	5.98 (0.5%)	5.97 (0.5%)
pep/10 <sup>8</sup>	1.45 (0.9%)	1.46 (0.9%)	1.47 (0.9%)	1.45 (0.9%)
<sup>7</sup> Be/10 <sup>9</sup>	4.91 (6%)	4.70 (6%)	4.84 (6%)	4.80 (5%)
<sup>8</sup> B/10 <sup>6</sup>	5.35 (12%)	4.89 (12%)	5.13 (12%)	5.16 (2%)
CNO/10 <sup>8</sup>	5.15 (12)	3.87 (15%)	3.88 (15%)	6.6 (5.7-8.6)

🤔 新增问题:CNO 中微子流量低于观测

# Be7, pep, CNO- $\nu$ 预期rate

LZ-SSM HZ-SSM对三类中微子的流强预测和在JUNO 反应rate

	Solar $\nu$	${}^7\text{Be}$	<i>pep</i>	CNO
<b>HZ-SSM</b>	$\Phi$ [ $10^8 \text{ cm}^{-2} \text{ s}^{-1}$ ]	49.3(1 $\pm$ 0.06)	1.44(1 $\pm$ 0.009)	4.88(1 $\pm$ 0.11)
	$R$ [cpd/kton]	489 $\pm$ 29	28.0 $\pm$ 0.4	50.3 $\pm$ 8.0
	$R^{\text{ROI}}$ [cpd/kton]	142.5 $\pm$ 8.3	17.1 $\pm$ 0.2	16.6 $\pm$ 2.6
<b>LZ-SSM</b>	$\Phi$ [ $10^8 \text{ cm}^{-2} \text{ s}^{-1}$ ]	45.0(1 $\pm$ 0.06)	1.46(1 $\pm$ 0.009)	3.51(1 $\pm$ 0.10)
	$R$ [cpd/kton]	447 $\pm$ 26	28.4 $\pm$ 0.4	36.0 $\pm$ 5.3
	$R^{\text{ROI}}$ [cpd/kton]	130.0 $\pm$ 7.5	17.3 $\pm$ 0.2	11.9 $\pm$ 1.8
<b>Borexino results</b>	$\Phi$ [ $10^8 \text{ cm}^{-2} \text{ s}^{-1}$ ]	49.9 $\pm$ 1.1 $^{+0.6}_{-0.8}$	1.27 $\pm$ 0.19 $^{+0.08}_{-0.12}$ (LZ) 1.39 $\pm$ 0.19 $^{+0.08}_{-0.13}$ (HZ)	6.6 $^{+2.0}_{-0.9}$

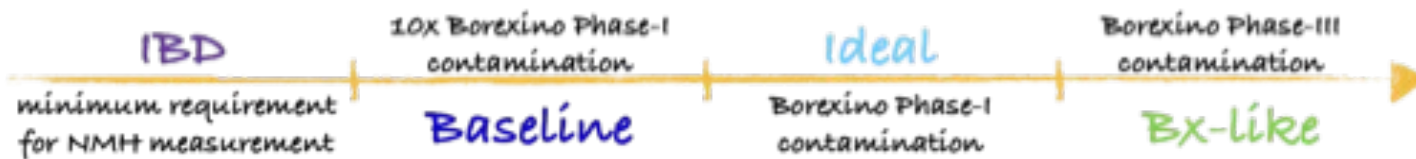
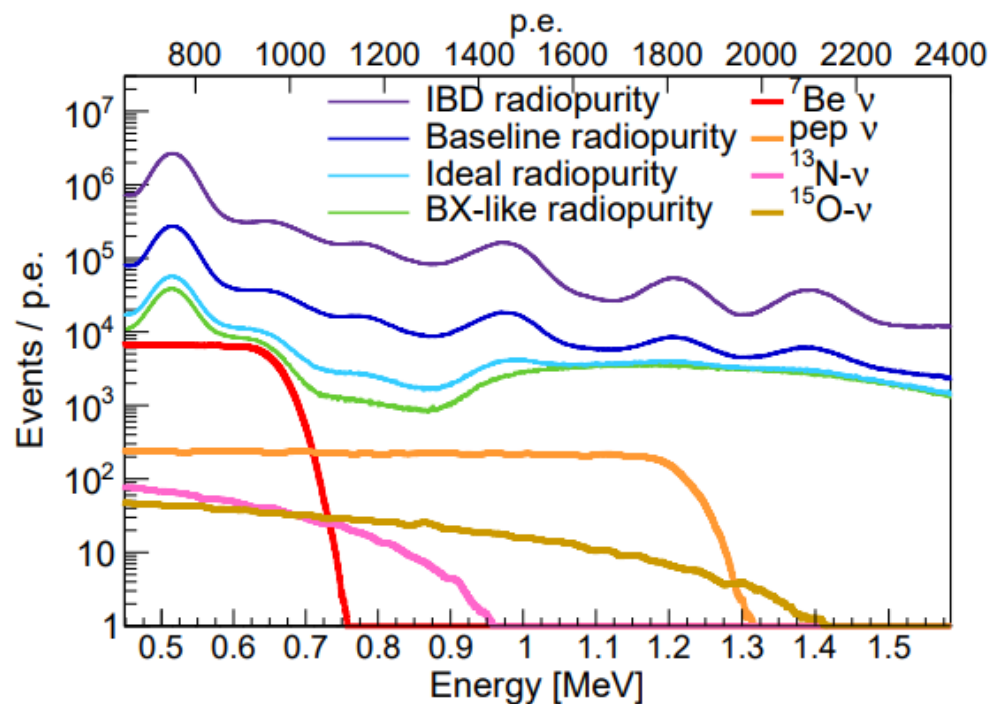
# JUNO本底分析

## 液闪中的天然放射性

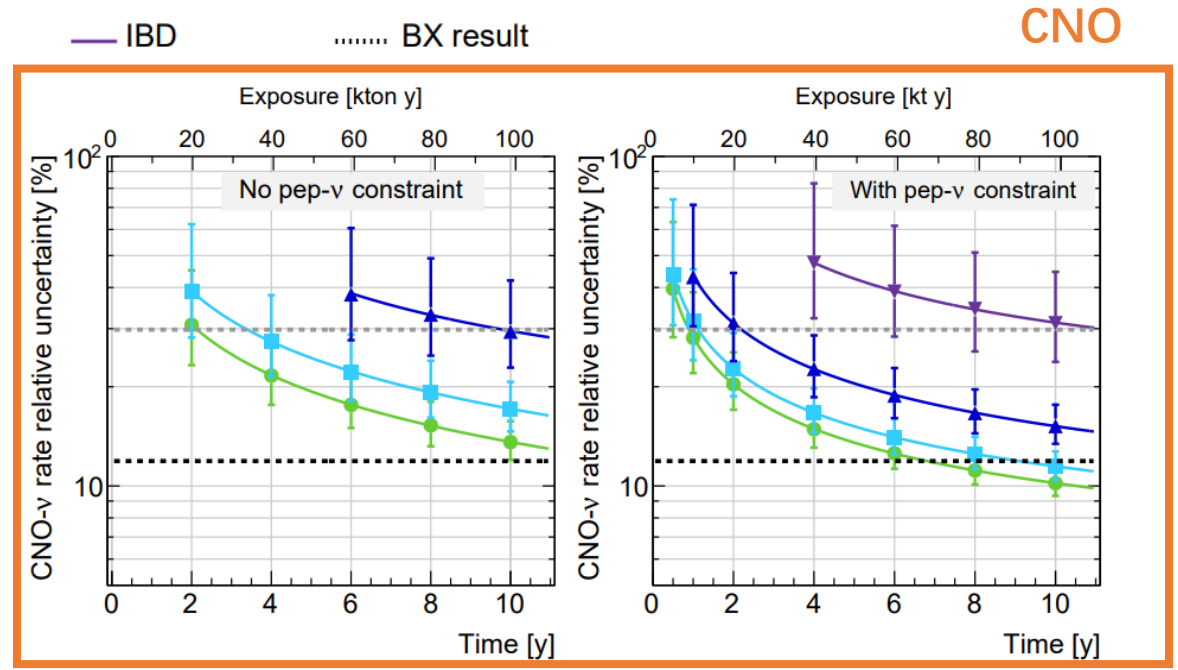
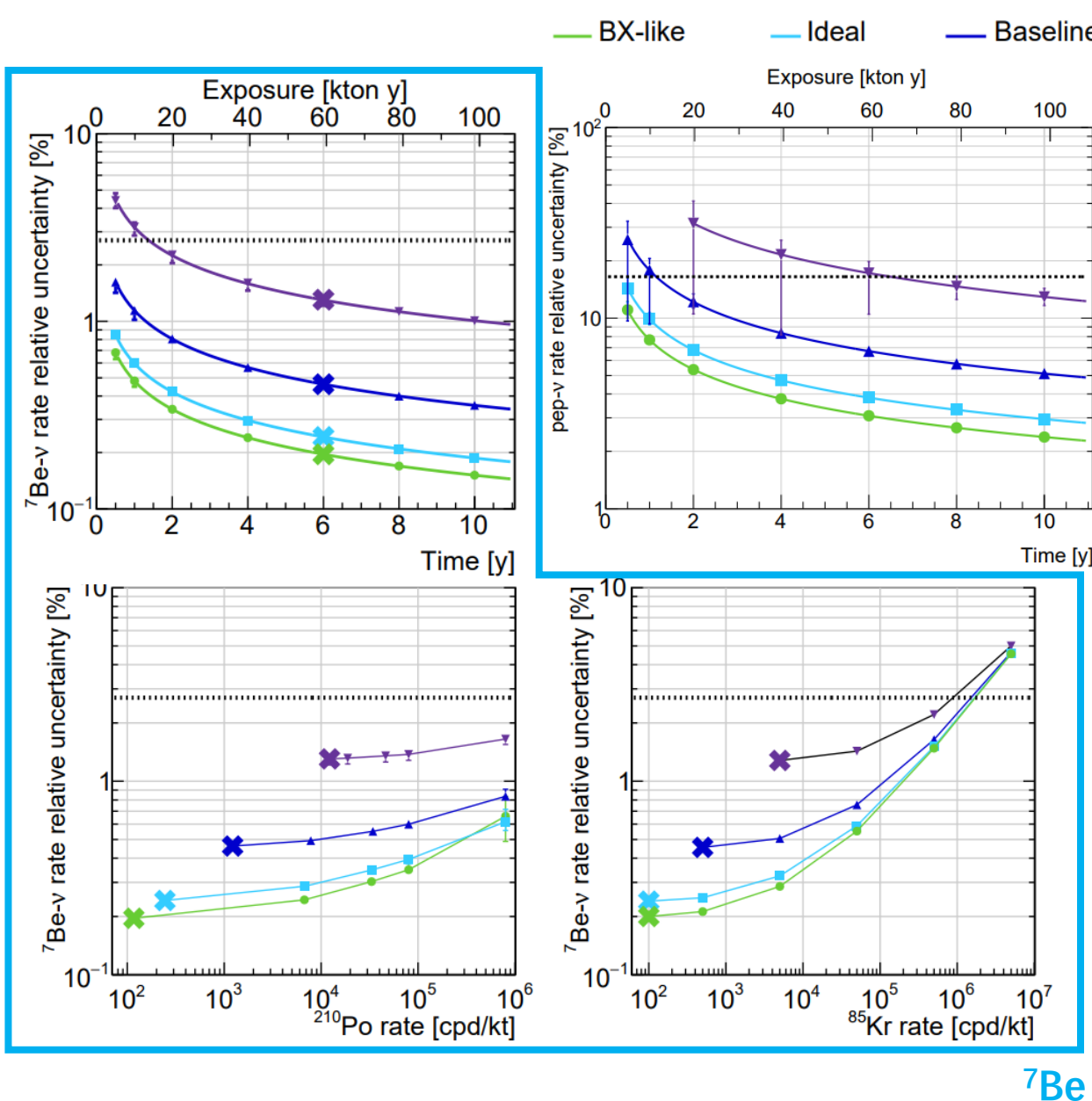
假定不同的放射性纯度下的液闪

Radio-purity Scenario		<sup>40</sup> K	<sup>85</sup> Kr	<sup>232</sup> Th-chain	<sup>238</sup> U-chain	<sup>210</sup> Pb/ <sup>210</sup> Bi	<sup>210</sup> Po
IBD	$c$ [ $\frac{\text{g}}{\text{g}}$ ]	$1 \times 10^{-16}$	-	$1 \times 10^{-15}$	$1 \times 10^{-15}$	$5 \times 10^{-23}$	-
	$R$ [ $\frac{\text{cpd}}{\text{kt}}$ ]	2289	5000	3508	15047	12031	12211
Baseline	$c$ [ $\frac{\text{g}}{\text{g}}$ ]	$1 \times 10^{-17}$	-	$1 \times 10^{-16}$	$1 \times 10^{-16}$	$5 \times 10^{-24}$	-
	$R$ [ $\frac{\text{cpd}}{\text{kt}}$ ]	229	500	351	1505	1203	1221
Ideal	$c$ [ $\frac{\text{g}}{\text{g}}$ ]	$1 \times 10^{-18}$	-	$1 \times 10^{-17}$	$1 \times 10^{-17}$	$1 \times 10^{-24}$	-
	$R$ [ $\frac{\text{cpd}}{\text{kt}}$ ]	23	100	35	150	241	244
Borexino	$c$ [ $\frac{\text{g}}{\text{g}}$ ]	-	-	$<5.7 \times 10^{-19}$	$<9.4 \times 10^{-20}$	-	-
	$R$ [ $\frac{\text{cpd}}{\text{kt}}$ ]	4.2	100	1.4	2	115	446.9

NOTE: Contribution from pileup and reactor neutrinos found negligible in the ROI



# JUNO观测 $^7\text{Be}$ , pep, CNO中微子流强灵敏度

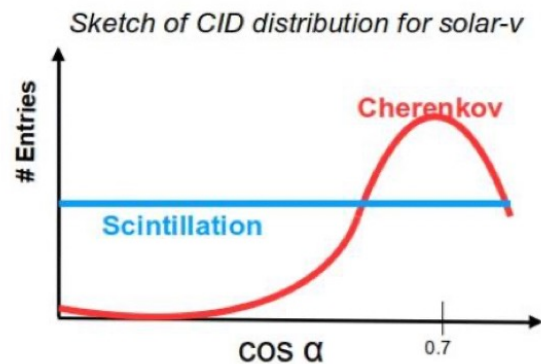
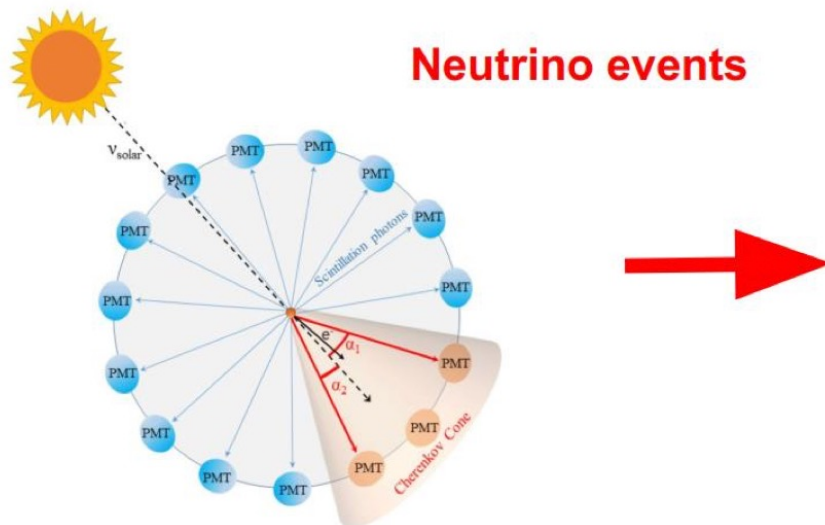


	$^7\text{Be}$	pep	CNO	
			无pep约束	有pep约束
Borexino	2.7%	17%	-12%,	+30%
6年数据	0.25%-0.5%	4%-7%	20%-40%	15%-18%
10年数据	0.2%-0.35%	3%-5%	16%-30%	12%-16%

精度范围对应Baseline-ideal scenarios, 分析未加入系统误差

JCAP 10 (2023) 022

# CID方法 (Correlated Integrated Directionality)



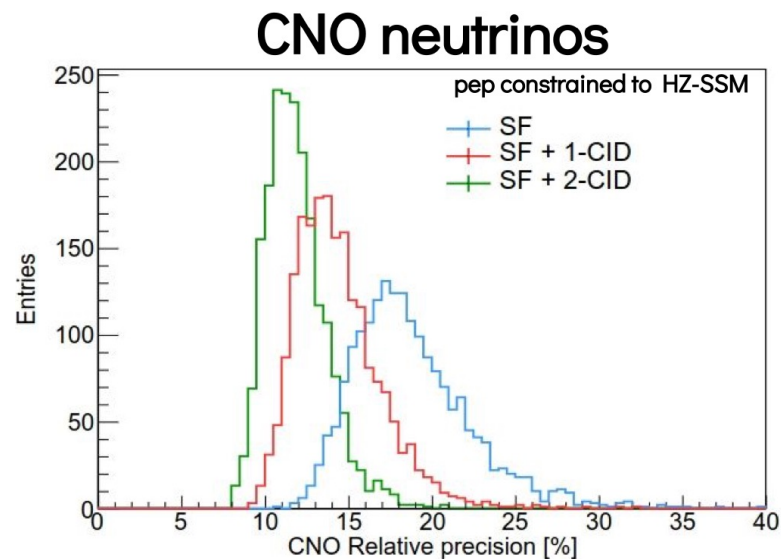
The  $\cos \alpha$  distribution for Cherenkov photons is peaked  $\sim 0.7$ .

The CID technique exploits the **directionality of Cherenkov light** to separate neutrino events from the background.

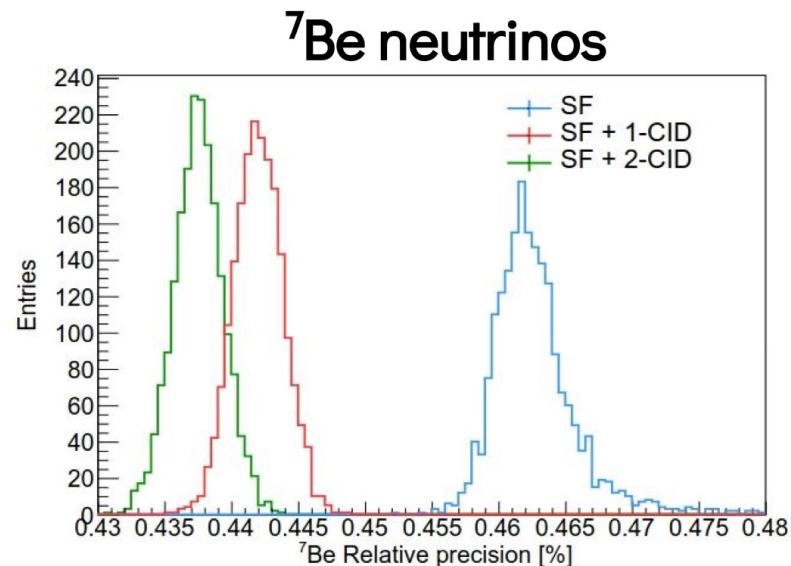
The  $\cos \alpha$  distribution is flat for scintillation photons.

利用切伦科夫光的方向性可以提高CNO,  $7\text{Be}$ 中微子测量的灵敏度

# CID -- status:



Configuration	R(CNO) relative uncertainty [%]
SF	$18.8^{+4.0}_{-2.8}$
SF + 1-CID	Jülich: $14.0^{+2.7}_{-1.9}$ Milano: $14.0^{+2.1}_{-1.8}$
SF + 2-CID	Jülich: $11.6^{+1.9}_{-1.5}$ Milano: $11.8^{+2.0}_{-1.2}$

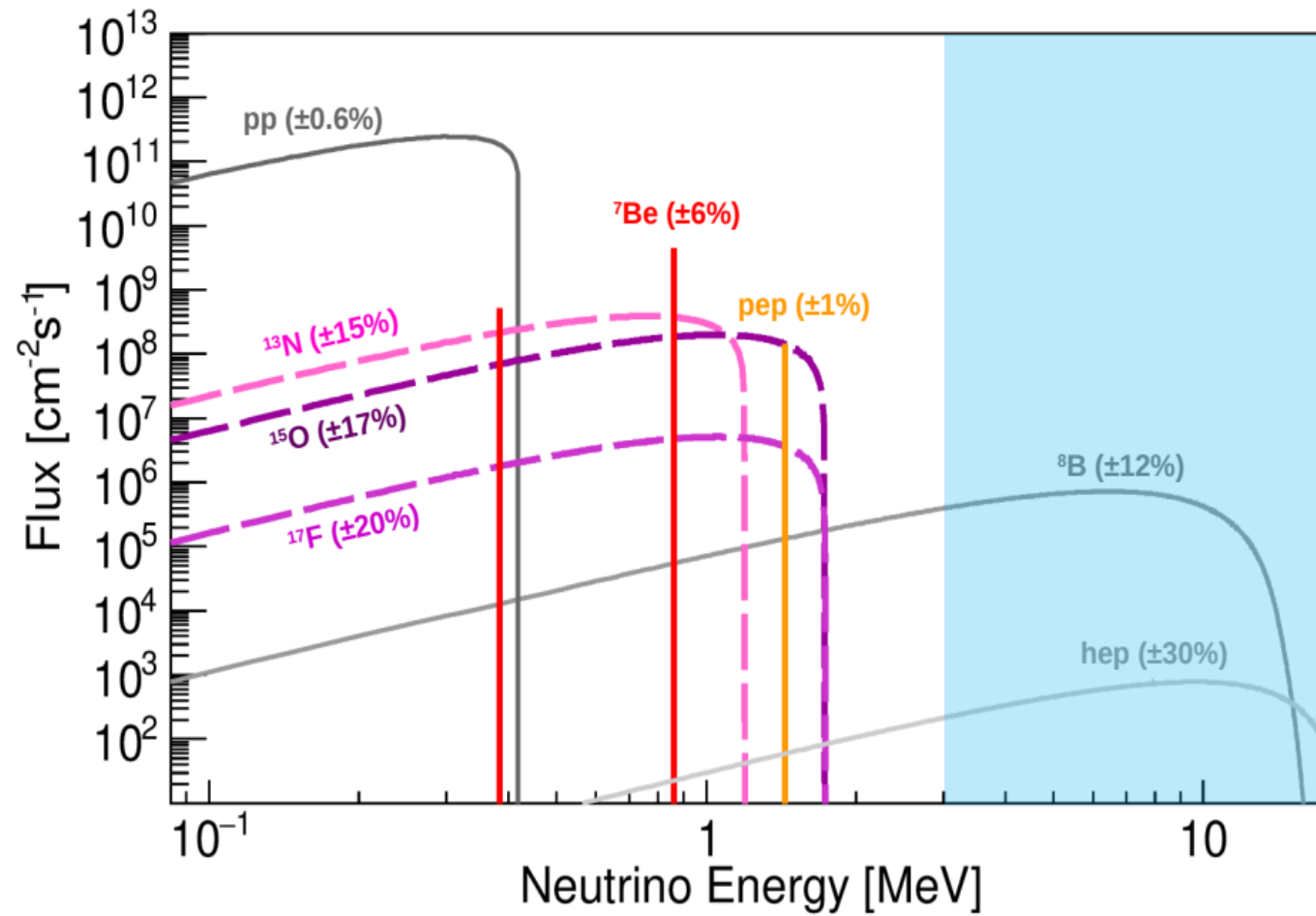


Configuration	R( $^7\text{Be}$ ) relative uncertainty [%]
SF	$0.4624^{+0.0028}_{-0.0023}$
SF + 1-CID	Jülich: $0.4420^{+0.0019}_{-0.0018}$ Milano: $0.4420^{+0.0018}_{-0.0017}$
SF + 2-CID	Jülich: $0.4375^{+0.0018}_{-0.0018}$ Milano: $0.4376^{+0.0018}_{-0.0016}$

## Warning

- 目前的结果基于toy MC, 下一步要基于full MC模拟进行分析





$^8\text{B}$ 分析能区 [2, 16] MeV

# 反应道

No.		20 kt · 10 y	Threshold [MeV]	Signal	<sup>8</sup> B	hep
1	☺ ES	$\nu + e \rightarrow \nu + e$ [1]	0	kinetic $e^-$	3e5	639
2	CC	$\nu_e + {}^{12}\text{C} \rightarrow e^- + {}^{12}\text{N}(1^+; gnd)$ [14]	16.827	kinetic $e^-$	0	0.41
3	☺ CC	$\nu_e + {}^{13}\text{C} \rightarrow e^- + {}^{13}\text{N}(\frac{1}{2}^-; gnd)$ [15]	2.2	kinetic $e^- + {}^{13}\text{N}$ decay	3768	14.3
4	Overlap with IBD	$\nu + {}^{12}\text{C} \rightarrow \nu + {}^{12}\text{C}(1^+; 15.1\text{MeV})$ [14]	15.1	$\gamma$	0.25	4.9
5		$\nu + {}^{13}\text{C} \rightarrow \nu + n + {}^{12}\text{C}(2^+; 4.44\text{MeV})$ [16]	6	$n$ capture + $\gamma$	67.1	1.2
6		$\nu + {}^{13}\text{C} \rightarrow \nu + {}^{13}\text{C}(\frac{1}{2}^+; 3.089\text{MeV})$ [15]	3.089	$\gamma$	14.4	0.07
7	☺ NC	$\nu + {}^{13}\text{C} \rightarrow \nu + {}^{13}\text{C}(\frac{3}{2}^-; 3.685\text{MeV})$ [15]	3.685	$\gamma$	3165	13.5
8		$\nu + {}^{13}\text{C} \rightarrow \nu + {}^{13}\text{C}(\frac{5}{2}^+; 3.854\text{MeV})$ [15]	3.854	$\gamma$	2.89	0.02

# $^8\text{B}$ 太阳中微子 ES&NC 反应道本底和信号小结

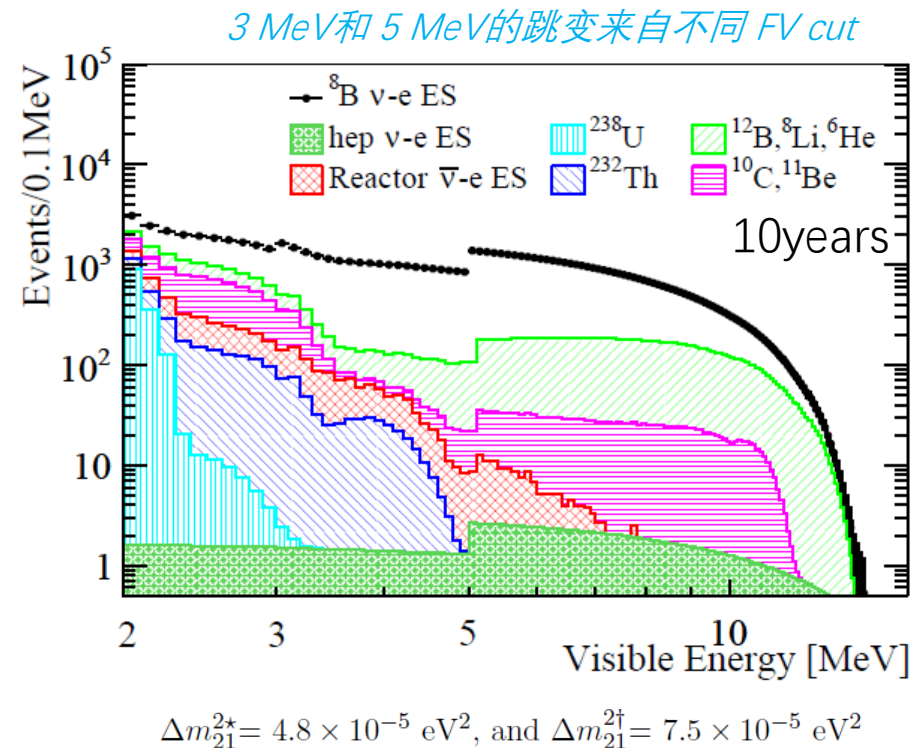
## ■ 信号特征：单信号

## ■ $^8\text{B}$ 事例挑选效率：

- ✓ Muon反符合效率: 52%
- ✓ (3, 5) MeV: 52% (muon veto) \* 80% ( $^{212}\text{Bi}$ - $^{208}\text{Tl}$  cut)

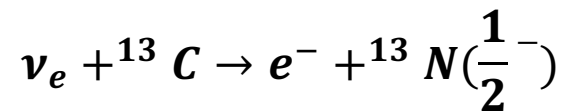
## ■ 其他系统误差

- ✓ FV cut: 1%, refer to Borexino  
(*Phys. Rev. D*, 101(6):062001, 2020).
- ✓ Detector energy scale: 0.3%, refer to Daya Bay  
(*Nucl. Instrum. Meth. A*, 940:230-242, 2019.)



cpd/kt	FV	$^8\text{B}$ signal eff.	$^{12}\text{B}$	$^8\text{Li}$	$^{10}\text{C}$	$^6\text{He}$	$^{11}\text{Be}$	$^{238}\text{U}$	$^{232}\text{Th}$	$\bar{\nu}$ -e ES	Total bkg.	Signal rate at	
												$\Delta m_{21}^{2*}$	$\Delta m_{21}^{2\dagger}$
(2, 3) MeV	7.9 kt	~51%	0.005	0.006	0.141	0.084	0.002	0.050	0.050	0.049	0.39	0.32	0.30
(3, 5) MeV	12.2 kt	~41%	0.013	0.018	0.014	0.008	0.005	0	0.012	0.016	0.09	0.42	0.39
(5, 16) MeV	16.2 kt	~52%	0.065	0.085	0	0	0.023	0	0	0.002	0.17	0.61	0.59
Syst. error	1%	<1%	3%	10%	3%	10%	1%	1%	2%				

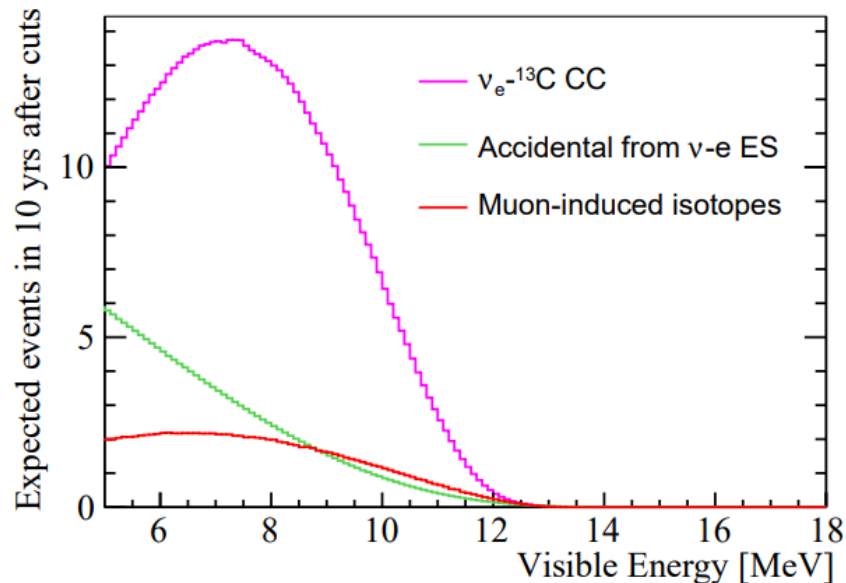
# $^8\text{B}$ 太阳中微子CC道探测



## ■ 信号特征：快慢符合信号

- 快信号：电子动能
- 慢信号： ${}^{13}\text{N}$ 衰变 ( $\beta^+$ ,  $\tau = 863$  s)

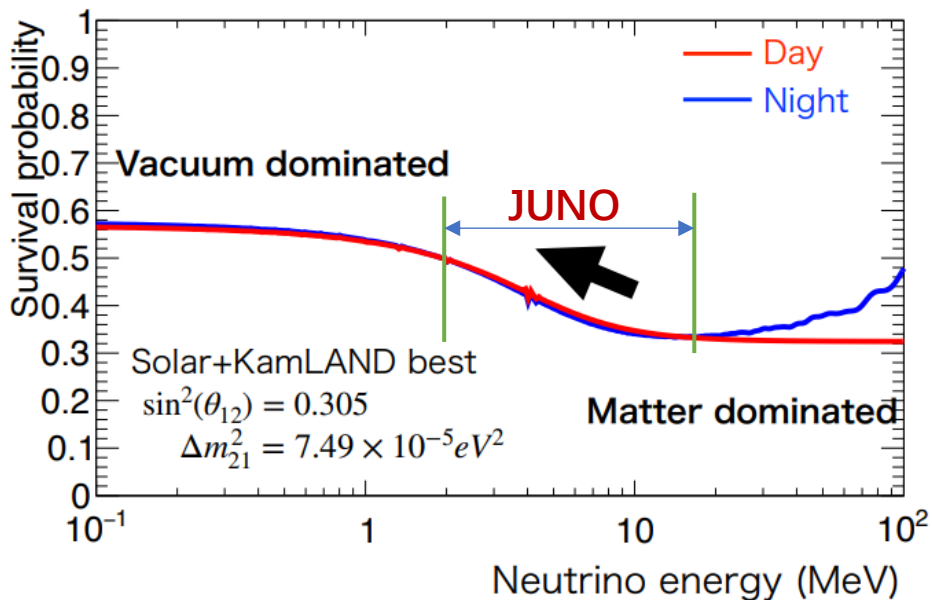
## ■ 优化事例挑选条件



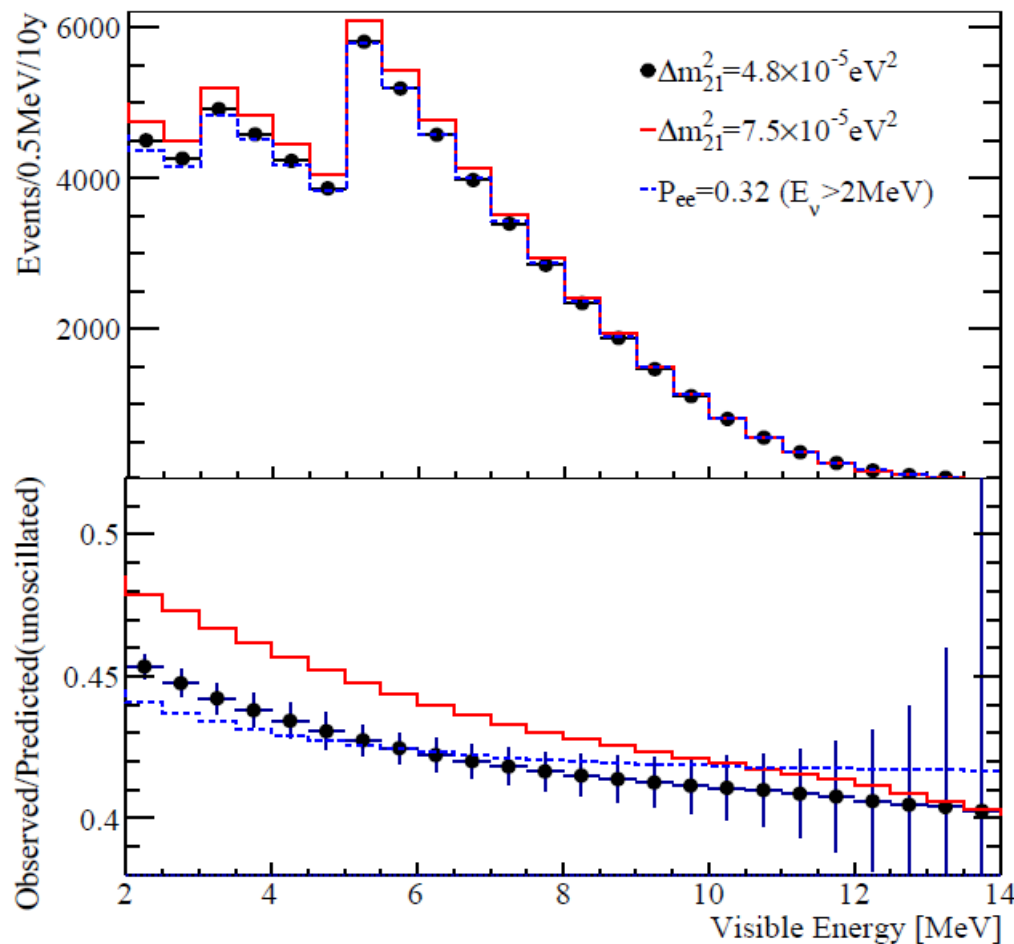
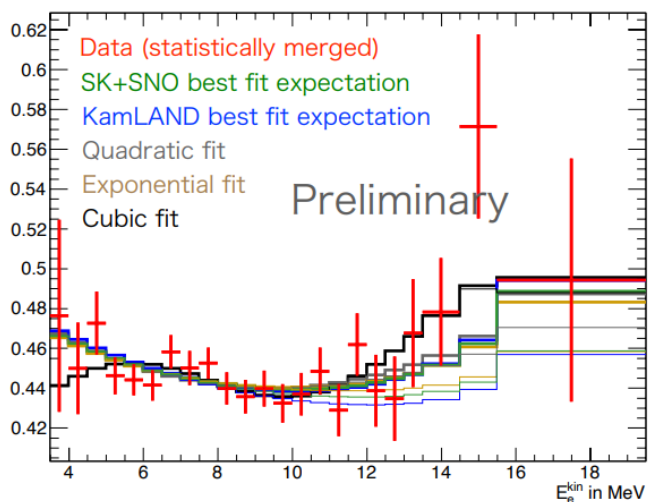
	Cuts	CC signal efficiency	CC signal	Background for CC channel		
				Solar ES	Muon-induced isotopes	
				Accidental	Accidental	Correlated
-	-	-	3929	-	-	-
Time cut	$\Delta T < 900$ s	65%	2554	$10^{10}$	$10^{13}$	$10^{12}$
Energy cut	$5 \text{ MeV} < E_p < 14 \text{ MeV}$ $1 \text{ MeV} < E_d < 2 \text{ MeV}$	79% 91%	1836	$10^9$	$10^{10}$	$10^9$
Fiducial volume Cut	$R < 16.5$ m [30]	81%	1487	$10^7$	$10^7$	$10^8$
Vertex cut	$\Delta d < 0.47$ m	87%	1293	328	$10^5$	$10^6$
Muon veto	Muon and TFC veto [30]	50%	647	164	53	58
Combined	-	17%	647	275		

# B8-v: upturn

Neutrino oscillation (MSW-LMA)



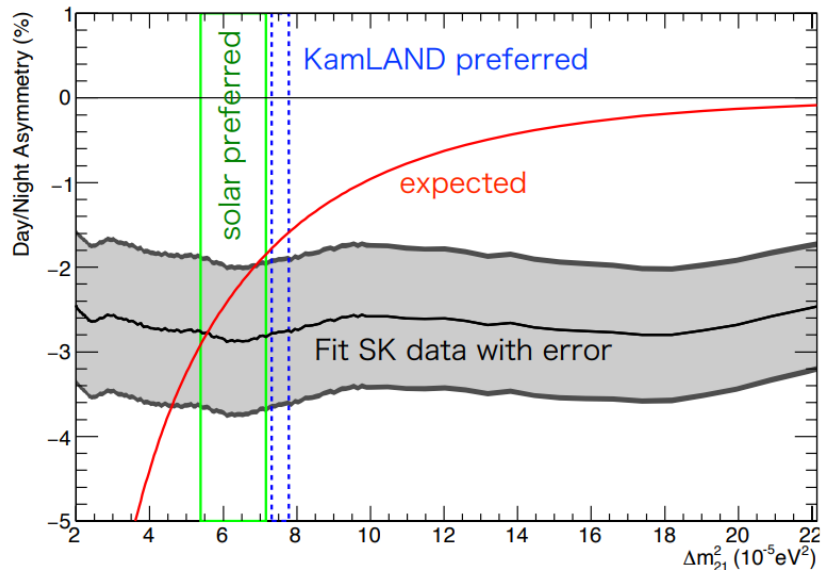
Neutrino 2022 SK-I/II/III/IV Recoil Electron Spectrum



✓ 排除平的  $P_{ee}$ :  $2.7 \sigma$  with  $\Delta m_{21}^2 = 7.5 \times 10^{-5} \text{eV}^2$

# B8-v: 日夜效应

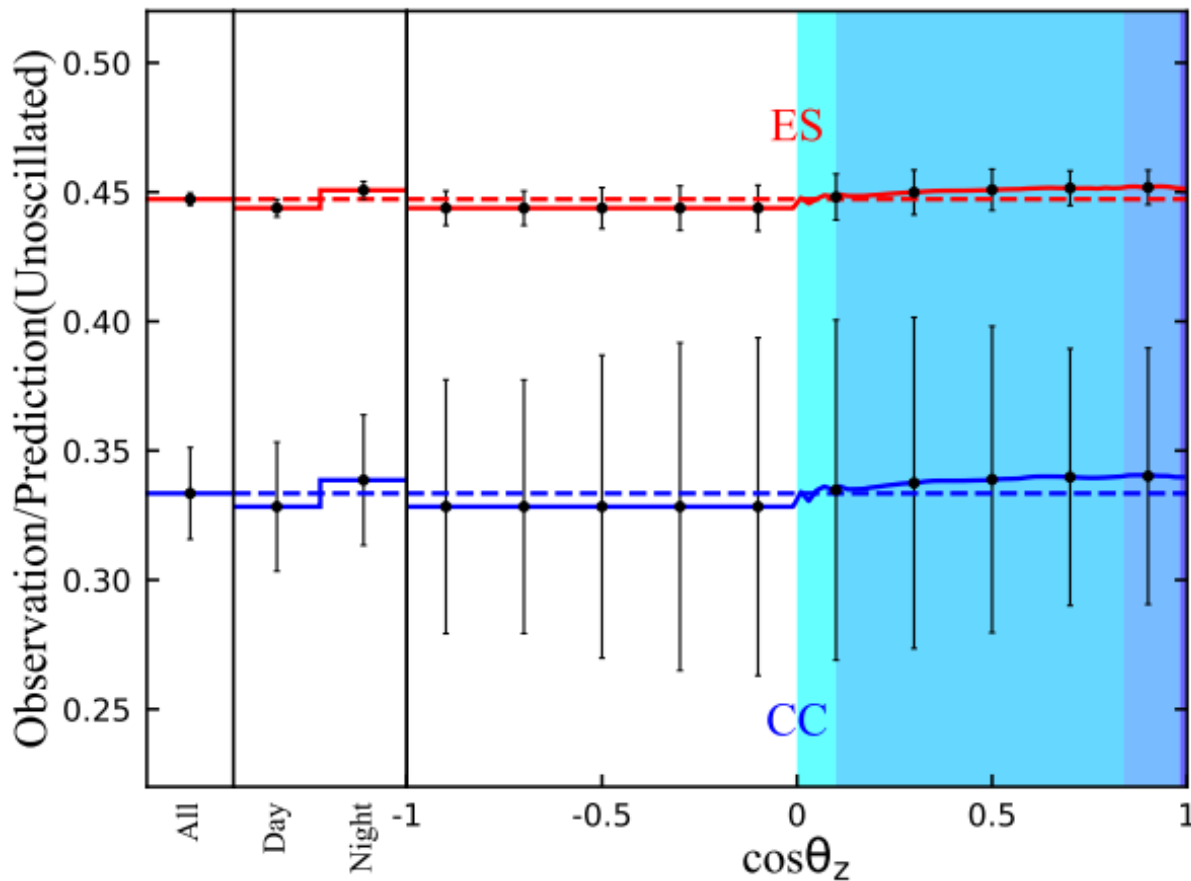
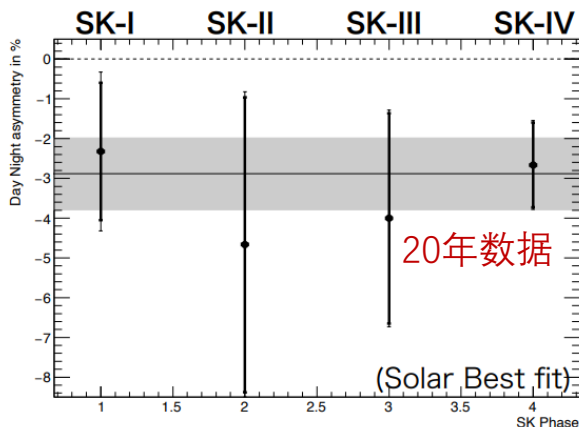
$$\sin^2\theta_{12}=0.304 \quad \sin^2\theta_{13}=0.025$$



Significance of D/N asymmetry:

**3.2σ** for Solar Best fit

**3.1σ** for Global Best fit



## ■ JUNO测量日夜效应精度:

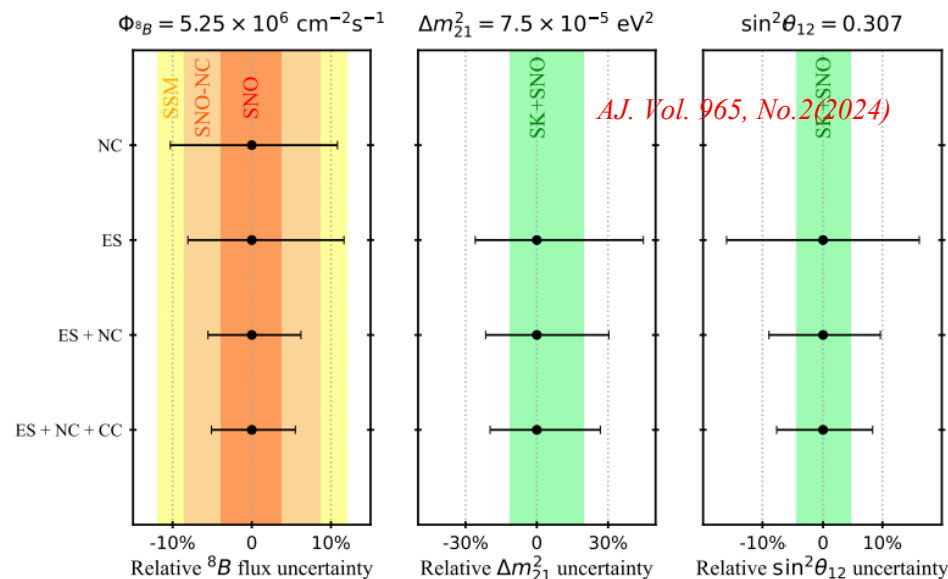
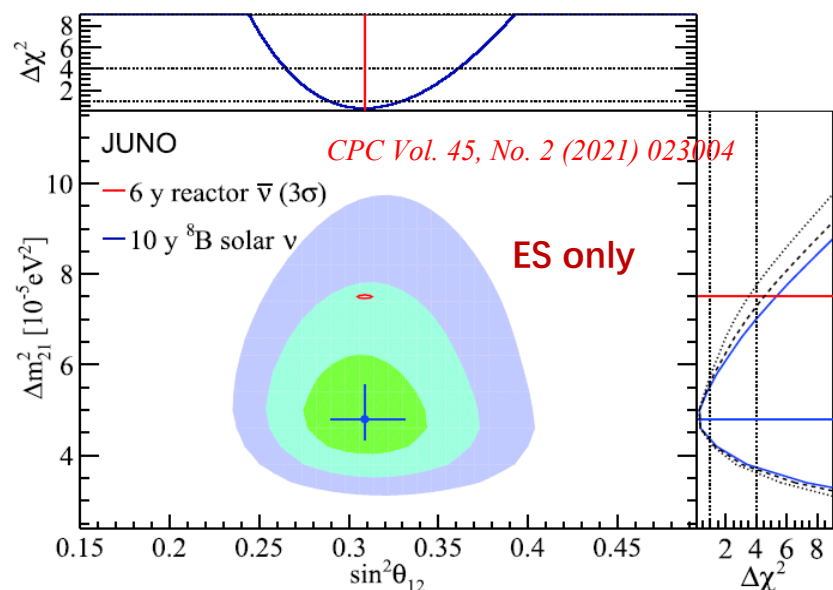
✓ 10年数据:  $(-2.9 \pm 0.9)\%$  for  $\Delta m_{21}^2 = 7.5 \times 10^{-5} \text{ eV}^2$

✓ 主要灵敏度来自ES反应道, 因其大统计量

# B8-v: 模型无关的测量

## ■ 利用ES, NC, CC三个反应道

- ✓ 可模型无关的测量 $^8\text{B}$ 太阳中微子流强(5%), 和振荡参数 $\sin^2\theta_{12}$ (8%)和 $\Delta m_{21}^2$ (20%)
- ✓ 如果联合SNO-NC结果, 可获得世界上最高的 $^8\text{B}$ 中微子流强精度3%



Without  $^{210}\text{Po}$  reduction, dashed line in the right panel  
 $^{238}\text{U}/^{232}\text{Th} \sim 10^{-15}$  g/g,  $E_{\text{thr}} > 5$  MeV, dotted line in the right panel

# 总结

## ◆JUNO探测器优势

✓ 最大的液闪靶体积(20 kt), 低能量阈值(0.1 MeV)、低天然放射性本底(U/Th $\sim 10^{-17}$  g/g)、高能量分辨率( $3\%/\sqrt{E}$ )

## ◆太阳中微子流强和振荡测量

□  ${}^7\text{Be}$   $\rightarrow$  g-modes, CNO中微子  $\rightarrow$  太阳金属丰度模型

	${}^7\text{Be}$	pep	CNO	
			无pep约束	有pep约束
Borexino	2.7%	17%	-12%,	+30%
6年数据	0.25%-0.5%	4%-7%	20%-40%	15%-18%
10年数据	0.2%-0.35%	3%-5%	16%-30%	12%-16%

### 相关合作组文章:

1. CPC Vol. 45, No.2 (2021) 023004
2. AJ. Vol. 965, No.2(2024)
3. JCAP 10 (2023) 022

□  ${}^8\text{B}$ 中微子: 10年数据, 流强5%,  $\sin^2\theta_{12}$  8%和 $\Delta m_{21}^2$  20%, 太阳金属丰度

- SuperK和Borexino实验只能观测  ${}^8\text{B}$ 太阳中微子ES道, 因此受振荡参数影响无法独立确定 ${}^8\text{B}$ 太阳中微子总流强
- JUNO将在国际上首次探测到太阳中微子和 ${}^{13}\text{C}$ 的NC和CC反应道, 且不需要太阳模型和其他实验测量结果的输入独立测量 ${}^8\text{B}$ 太阳中微子流强和振荡参数

□  ${}^8\text{B}$ 中微子: 进一步检验标准振荡模型, 比如日夜效应和中微子存活几率upturn等

- 日夜效应: 10年( $-2.9\pm 0.9\%$ ) for  $\Delta m_{21}^2 = 7.5 \times 10^{-5} \text{ eV}^2$ , 和SuperK 20年数据结果相当
- Upturn: 分析能区[2,16] MeV, 阈值低于SuperK的3.5 MeV, 几乎完全覆盖upturn能区

□ pp和hep中微子: 进行中

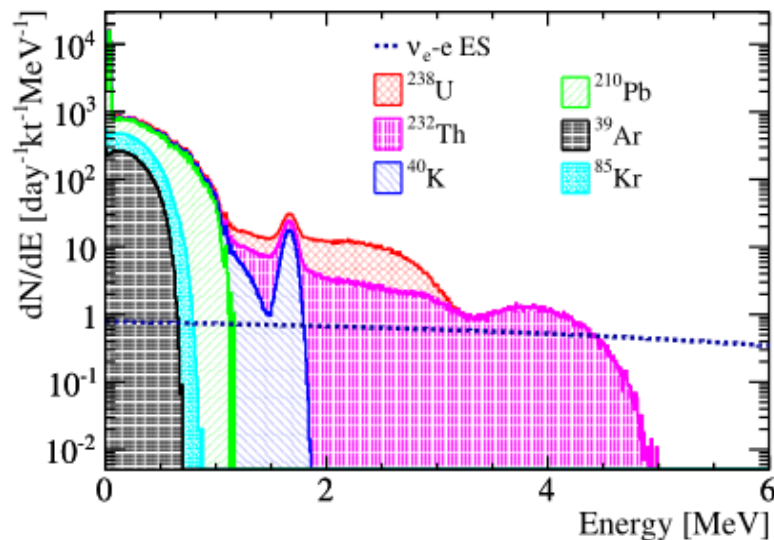




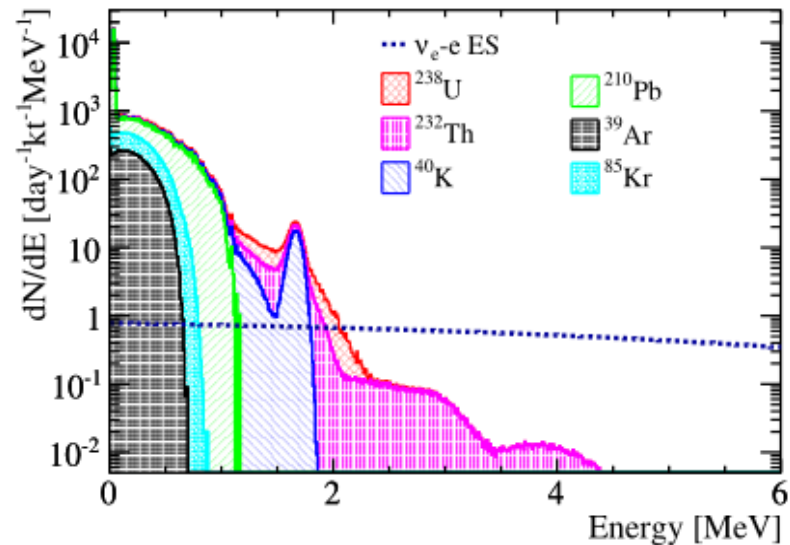
谢谢!

# B8-本底分析--液闪中本底

$^{238}\text{U}$ :  $10^{-17}$  g/g  
 $^{232}\text{Th}$ :  $10^{-17}$  g/g  
 $^{40}\text{K}$ :  $10^{-18}$  g/g  
 $^{210}\text{Pb}$ :  $10^{-24}$  g/g  
 $^{14}\text{C}$ :  $10^{-17}$  g/g  
 $^{39}\text{Ar}/^{85}\text{Kr}$ :  $1 \mu\text{Bq}/\text{m}^3$   
 $^{210}\text{Po}$ : 2600 cpd/kt

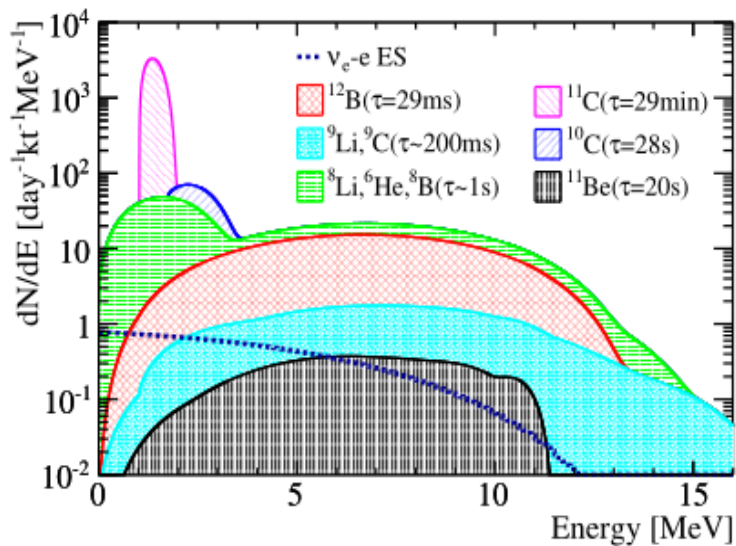


Bi-Po/Tl  
reduction

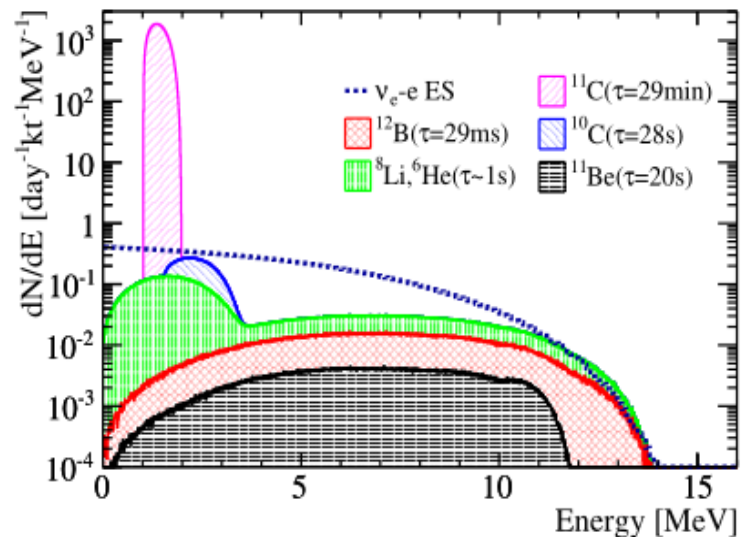


$\mu$  flux:  $0.004 \text{ Hz}/\text{m}^2$   
 Rate in LS: 3.6 Hz  
 Rate in water: 10 Hz

将来in-situ可测量:  
 宇生同位素产额、距  
 离muon径迹的分布、  
 伴随产生中子的比例



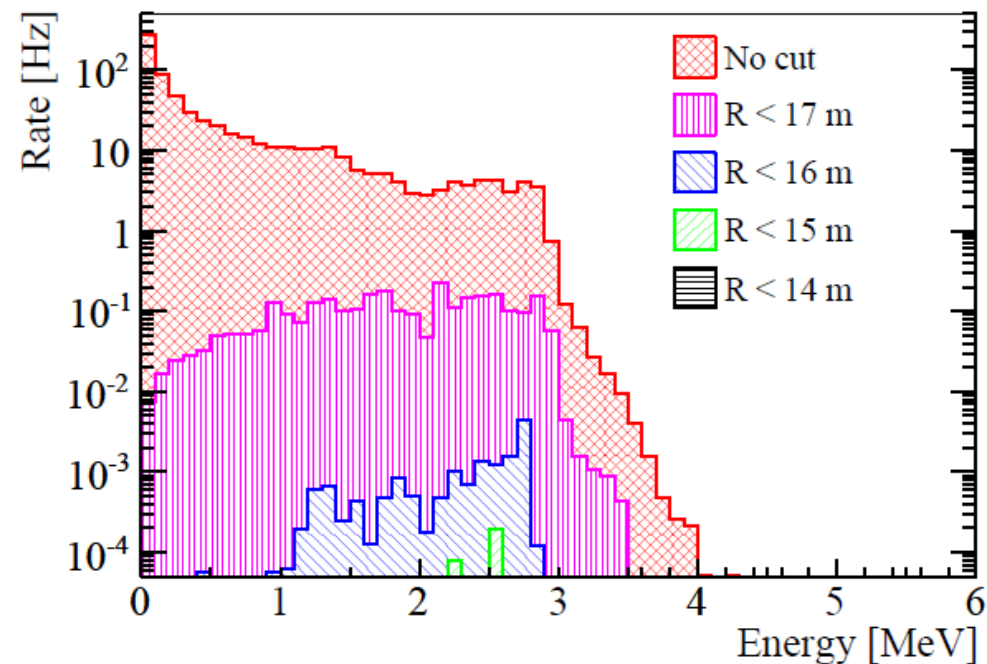
$\mu$  track + TFC  
reduction



# B8-本底分析--外部天然放射性本底

## ■外部材料本底

主材料	U/Th含量	参考
有机玻璃	< 1 ppt	Ref: NIMA1004 (2021) 165377
不锈钢网架	< 1 ppb	Same supplier with Daya Bay
PMT玻璃	~200 ppb	Ref: NIMA 898 (2018) 67-71
超纯水	Radon < 0.1 Bq/m <sup>3</sup>	Ref: RDTM (2018) 2:48
岩石	10~30 ppm	4 m水层, 5 mm HDPE隔离



## ■中子(radiogenic)在外部材料上的俘获

- ✓ 高能gamma: 中子在金属、PMT玻璃和有机玻璃上的俘获产生
- ✓ 残留本底: < 0.001 cpd with R < 16.5 m

## ■Fiducial volume cut的优化

- ✓ 本底压低到0.5%, 信号在高压区达到最大值

	R<16.5m	R<15m	R<13m	R<14m
Energy (MeV)	> 5	(3, 5)	(2, 3)	<2
靶质量 (kt)	16.2	12.2	7.9	9.9

## ■ CNO-宇生同位素本底

- ✓  $^{11}\text{C}$  ( $\tau=29\text{min}$ ),  $^{10}\text{C}$  ( $\tau=27.8\text{s}$ ),  $^6\text{He}$  ( $\tau=1.16\text{s}$ )是此能区主要本底

$$R^{\text{JUNO}} = R^{\text{ref}} \cdot \left( \frac{\bar{E}_{\mu}^{\text{JUNO}}}{\bar{E}_{\mu}^{\text{ref}}} \right)^{\alpha} \cdot \frac{\Phi(\mu)^{\text{JUNO}}}{\Phi(\mu)^{\text{ref}}} \cdot \frac{\epsilon_C^{\text{JUNO}}}{\epsilon_C^{\text{ref}}}$$

- ✓  $^{11}\text{C}$ 半衰期很长，很难通过简单muon反符合策略去除

Isotope	$R_{\text{Scaling exp.}}$ [cpd/kton]	$R$ [cpd/kton]	$\langle R \rangle$ [cpd/kton]	$\langle R \rangle_{\text{ROI}}$ [cpd/kton]
$^{11}\text{C}$	$R_{\text{Bx}} = 274 \pm 3$ $R_{\text{KL}} = 1106 \pm 8$	$1890 \pm 199$ $1959 \pm 254$	$1916 \pm 157$	$1761 \pm 144$
$^{10}\text{C}$	$R_{\text{Bx}} = 6.2 \pm 2.2$ $R_{\text{KL}} = 21.1 \pm 1.8$	$41.4 \pm 15.3$ $36.5 \pm 5.7$	$37.1 \pm 5.3$	$0.25 \pm 0.04$
$^6\text{He}$	$R_{\text{Bx}} = 11.1 \pm 4.5$ $R_{\text{KL}} = 15.4 \pm 2$	$74 \pm 31$ $26.6 \pm 4.9$	$27.8 \pm 4.8$	$12.7 \pm 2.19$

- ✓ 用TFC(Three-Fold-Coincidence)方法，将数据分成TFC-subtracted和TFC-tagged，在fitter中同时做拟合

